

علاقة الإشعاع الأرضي بدرجة الحرارة في العراق للمدة (١٩٧٠-٢٠٠٧) م*

أ.م.د. علي مهدي الدجيلي جامعة الكوفة/ كلية التربية للبنات

المستخلص

هدیل عبد المجید عباس الشاعر ماجستیر/جغرافیة طبیعیة/مناخ

Abstract

تعدد دراسة الإشعاع الأرضي ومدى تأثيره بدرجة الحرارة في العراق من الدراسات المناخية المهمة التي يمكن من خلالها التوسع في الدراسات المناخية ،مما يمكن أن يضيف حلقة إلى البحث العلمي ، وخطوة تغني المكتبة العلمية ، وتساهم مساهمة متواضعة في البحث العلمي .

يهدف البحث إلى فهم علاقة الإشعاع الأرضي بدرجة الحرارة في العراق ، وذلك من خلال حساب صافي الإشعاع والأرضي (Net terrestrial radiation) .

أجريت الدراسة في ثماني محطات موزعة على مساحة منطقة الدراسة (الموصل ، وكركوك ، وبغداد ، والرطبة ، والحي ، والديوانية ، والناصرية ، والبصرة) ، وقد اعتمد البحث على بيانات ومعلومات مناخية عن هذه المحطات من الهيأة العامة للأنواء الجوية العراقية للمدة (١٩٧٠ – ٢٠٠٧) م .

اعتمدت الدراسة على نظام الحزم الإحصائية (S.P.S.S) للوصول إلى النتائج وفهم وتحليل البيانات إحصائياً ثم عرضها في رسوم بيانية وصولاً إلى تفسير

^{*} بحث مستل ، هديل عبد المجيد عباس الشاعر ، علاقة الإشعاع الشمسي والإشعاع الأرضي بدرجة الحرارة في العراق للمدة (١٩٧٠ - ٢٠٠٧) م ، رسالة ماجستير ، قسم الجغرافية ، جامعة الكوفة ، ٢٠٠٩ .

مجلة البحوث الجغرافية • • • • المنتسب

موضوع الدراسة، الذي تم من خلاله استخدام معامل الارتباط (بيرسون) Stepwise Multiple ، وتحليل الانحدار المتعدد التدريجي Regression Analysis ، وقد تم اختيار الدلالة الإحصائية تحت مستوى (٠,٠٥). وتوصل البحث الى عدد من النتائج كانت بالشكل الآتي :

1-تم حساب قيم الإشعاع الأرضي في منطقة الدراسة ، وتراوحت المعدلات السنوية للقيم بين(١١٧,٥) و (٢١١,٢) ملي واط/سم، إذ سُجِّلت أعلى القيم في أشهر (حزيران ، وتموز ، وآب ، وأيلول) ، وسُجِّلت أدناها في أشهر (كانون الأول ، وكانون الثاني ، وشباط) في محطات منطقة الدراسة كلها .

٢- أُظهر البحث وجود علاقة طردية وقوية بين الإشعاع الأرضي ودرجة الحرارة
 في منطقة الدراسة ، وتراوحت قيم الارتباط للإشعاع الأرضي مع درجة الحرارة بين
 (٠,٩٧٩) و (٠,٩٧٩) .

٣- تبين من خلال تحليل الانحدار المتعدد التدريجي ، أن الإشعاع الأرضي قد ساهم في تفسير درجة الحرارة بنسبة (٩٦,٩ ، ٨٢,٢) % في محطات منطقة الدراسة جميعها .

المقدمة:

الإشعاع الأرضي هو الإشعاع الذي تقوم الأرض بعكسه على شكل موجات طويلة نحو الغلاف الجوي، وذلك بعد ان تقوم باكتساب الحرارة بطريق امتصاصها للأشعة الشمسية، حيث يحتفظ الغلاف الجوي بجزء منها والجزء الأخر يسرب نحو الفضاء (۱)، وعلى الرغم من ان طول الإشعاع الأرضي يتراوح بين (٥ - ٥٠) ميكرومتر، ألا

ا على أحمد غانم، الجغرافيا المناخية ، الطبعة الأولى ، دار المسيرة للنشر والتوزيع والطباعة ، عمان ، ٢٠٠٣ ، ص٥٦ .



ان معظمه یتراوح بین $(\Lambda - 1)$ میکرومتر (1).

يهدف البحث إلى حساب قيم الإشعاع الأرضي وإيضاح العلاقة بينها وبين درجة الحرارة في العراق ، وذلك من خلال حساب صافي الإشعاع والأرضي (Net terrestrial radiation) ، وتتلخص مشكل البحث الرئيسة بالسؤال الآتي:

(هل توجد علاقة للإشعاع الأرضي بدرجة الحرارة في العراق؟) .

وقد تم وضع فرضية أو حل أولي لمشكلة البحث وتتمثل فرضية البحث بالشكل الآتى:

(وجود علاقة للإشعاع الأرضي بدرجة الحرارة في العراق).

تمتد منطقة الدراسة بين خطي طول (٤٥ ﴿ ٣٨ ْ ، ٤٥ ﴿ ٤٨ ﴿) شرقاً، ودائرتي عرض (٠٥ ﴿ ٢٩ أَ ، ٢٣ ﴿ ٣٧ ﴿) شمالاً .

استعانت الدراسة بثماني محطات مناخية في القطر هي (الموصل ، وكركوك ، وبغداد، والرطبة ، والحي ، والديوانية ، والناصرية ، والبصرة)، وهي محطات موزعة على أجزاء القطر جميعها ، لتعطي تمثيلاً جيداً لظروف منطقة الدراسة المناخية. (لاحظ الجدول (١) والشكل (١))

جدول (١) المحطات المناخية في منطقة الدراسة

الارتفاع/م	دائرة العرض	خط الطول	المحطة
775	° 77 € 19	٥ ٤٣ ٥ ٠٩	الموصل
٣٣١	ό ٣ο	ં	كركوك
٣٤	6 88 6 1V	ં દદ ઇ ૪૬	بغداد
٦١٥	° 77 € • 7	ۀ ٤٠ ó ۱۷	الرطبة

^{&#}x27; نعمان شحادة، علم المناخ، الطبعة الثانية، مطبعة النور النموذجية ، الأردن، ١٩٨٣، ، ص٨٦ .



10	ి ٣٢ Ó • ٨	ڻ ٤٦ Ó •٣	الحي
۲.	° 71 ° 01	૾ ٤٤ ⊙ Ο Υ	الديوانية
٣	° 71 € • 1	ં દ ે ઇ ઇ ઇ	الناصرية
۲,٤٠	° 7 • ° 71	ໍ ٤٧ ὁ ٤٧	البصرة

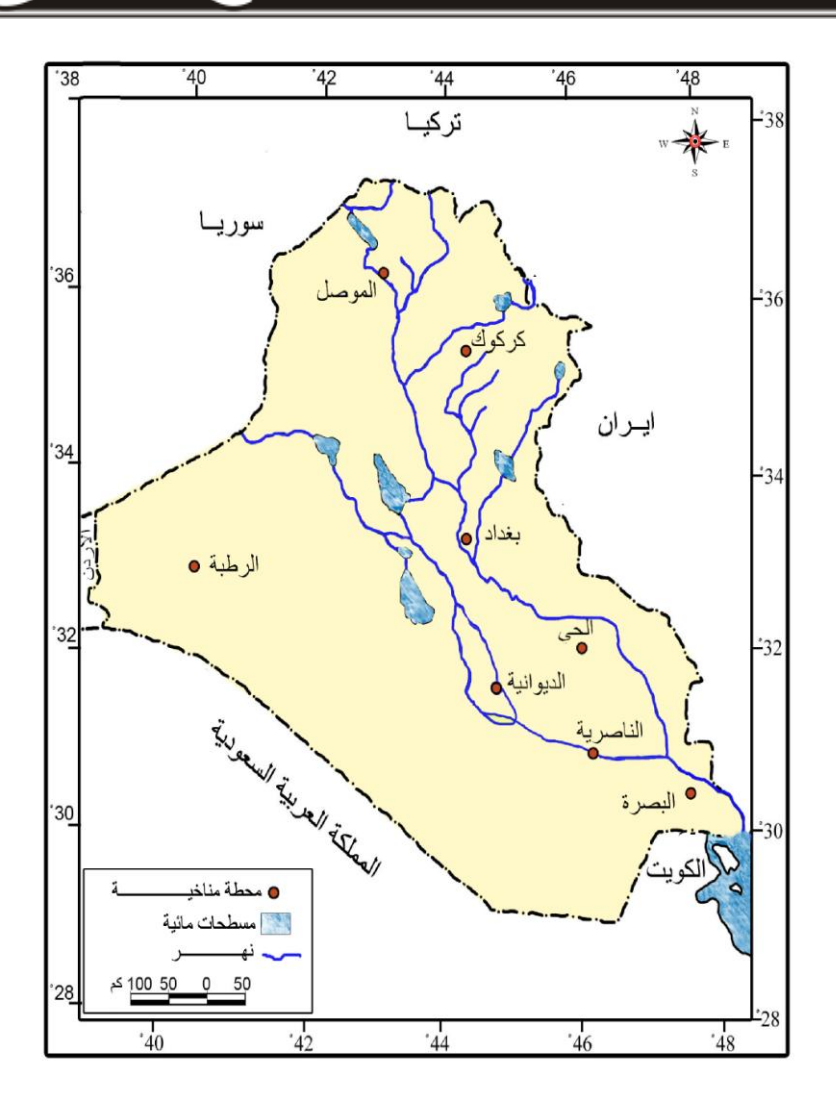
المصدر:

أ- جمهورية العراق ، وزارة النقل والمواصلات ، الهيأة العامة للأَنواء الجوية والرصد الزلزالي ، قسم المناخ ، بيانات (١٩٧٠-٢٠٠٧)م.

ب- جمهورية العراق ، وزارة النقل والمواصلات ، الهيأة العامة للأَنواء الجوية والرصد الزلزالي ، أطلس مناخ العراق ، بغداد ، ١٩٧٩.

واعتمدت الدراسة على وسائل وطرائق لتحقيق الأهداف التي تصبو لها، ومنها نظام الحزم الإحصائية (S.P.S.S) للوصول إلى النتائج وفهم وتحليل البيانات إحصائيا ثم عرضها في رسوم بيانية وصولا إلى تفسير موضوع الدراسة ، الذي تم من خلاله استخدام معامل الارتباط (بيرسون) Pearson correlation ، وتحليل الانحدار المتعدد التدريجي

(Stepwise Multiple Regression Analysis) ، وقد تم اختيار الدلالـة الإحصائية تحت مستوى (٠,٠٥).



شكل (١) توزيع المحطات المناخية المختارة في منطقة الدراسة

المصدر:

أ جمهورية العراق ، وزارة الري ، الهيأة العامة للمساحة ، بغداد ، ١٩٩٢. ب- جمهورية العراق ، وزارة النقل والمواصلات ، الهيأة العامة للأَنواء الجوية والرصد الزلزالي ، أطلس مناخ العراق ، بغداد ، ١٩٧٩.

مجلة البحوث الجغرافية • • • • المنتسب

أولاً / حساب صافي الإشعاع الأرضي:

يستخدم البحث صيغة رياضية لحساب الإشعاع الأرضي وضعت من قبل باحثين متخصصين في الدراسات المناخية ، وهي معتمدة من لدن الهيأة الدولية للأنواء الجوية، ومنظمة (F.A.O) ، حيث تعتمد هذه الطريقة الإحصائية في حسابها على المعطيات المناخية المتعددة ، التي تتوافر بياناتها في محطات الأنواء الجوية ، فضلاً عن دقة نتائجها .

ويتم حساب صافي الإشعاع الأرضي بالمعادلة الآتية (١):

$$RnI = \sigma \left[\frac{T \max_{k} k^{4} + T \min_{k} k^{4}}{2} \right] (0.34 - 0.14 \sqrt{ea}) \left[1.35 \frac{Rs}{Rso} - 0.35 \right]$$

حيث إن:

 $(MJm.^{-2} day^{-1})$ صافي الإشعاع الأَرضي = RnI

 $[4.903 \ 10^{-9} \mathrm{MJK}^{-4} \mathrm{m.}^{-2} \mathrm{day}^{-1}]$ ثابت ستيفان بولتزمان = σ

Tmax,k درجة الحرارة العظمي مقاسه بالكفن

Tmin,k درجة الحرارة الصغري مقاسه بالكفن

ea ضغط البخار وقد تم الحصول عليه من بيانات الهيأة العامة للأَنواء الجوية ، لاحظ الجدول (٢) .

Rs= الإشعاع الشمسي

¹ Richard G.Allen, Lins S. Pereira, Dirk Rees, Martin Smith, Gropevapatrans piration, f.A.O. Irrigation and Drainage paper, No.56, Rome, 1998,P.52.



مجلة البحوث الجغرافية

Rso= الإشعاع في الأيام الصافية ويستخرج من المعادلة الآتية (١):

$$Rso = (as + bs)Ra$$

as= قیمة ثابتة مقدارها (۰,۲٥)

bs = قیمة ثابتة مقدارها (۰٫٥٠)

Ra = قيم الإشعاع الشمسي الخارجي الواصل إلى سطح الغلاف الجوي وهي مقاسه (Y) وقد استخرجت بواسطة المعادلة الآتية (Y)

$$Ra = \frac{24(60)}{\Pi} Gscdr[ws \sin(\varphi)\sin(\delta) + \cos(\varphi)\cos(\delta)\sin(ws)]$$

وذلك واضح في الجدول (٣):

حيث أن

. $(0.0820 \text{ MJm}^{-2} \text{min}^{-1})$ = الثابت الشمسي = Gsc

dr معامل تصحيح المسافة بين الأرض والشمس وقد تم استخراجها من المعادلة الآتية (٣):

$$dr = 1 + 0.033 \cos\left(\frac{2\Pi}{365}\tau\right)$$
 حيث إن حيث إن τ الجمول عن السنة ، بحسب الجمول عن السنة ، بحسب الجمول عن السنة ، بحسب العمول عن العمول عن السنة ، بحسب العمول عن العمو

¹ Ibid, p. 51.

² Richard G. Allen, Lnis S. Pereira , Dirk Raes, Martin Smith, Op, Cit,p . 46

³ Ibid, p. 46

مجلة البحوث الجغرافية • • • ♦ المستنظر

Ws = قيم الإشعاع الشمسي عند الغروب وقد تم استخراجها من المعادلة الآتية(١):

 $Ws = \operatorname{arcc}$

 $Ws = \arccos[-\tan(\varphi)\tan(\delta)]$

حيث إن:

arccos = مقدار الزاوية

tan=ظل الزاوية

خط العرض = φ

 δ = زاوية الميل وقد تم استخراجها من المعادلة الآتية δ :

$$\delta = 0.409 \sin\left(\frac{2\Pi}{365}\tau - 1.39\right)$$

sin= جيب الزاوية

ثانياً / خصائص الإشعاع الأرضي ودرجة الحرارة في منطقة الدراسة:

¹ A//LLOYD W. SWIGFT SR., Algorithm for solar Radiation on Mountain Slopes, Water Resources Research, Vol (12), No (1), 1976,P.110.

B// Richard G. Allen, Lnis S. Pereira , Dirk Raes, Martin Smith, Op, Cit, P.46.

² Richard G. Allen, Lnis S. Pereira , Dirk Raes, Martin Smith, Op, Cit,p P.47 .

مجلة البحوث الجغرافية • • • • المحتوث الجغرافية

أ- خصائص الإشعاع الأرضى في منطقة الدراسة:

تتباين قيم الإشعاع الأرضي في منطقة الدراسة رمانيا ومكانياً ، إذ تصل قيمه في شهر (آذار) في محطة الموصل (٨٠،٩١) ملي واط/سم ، وفي محطة بغداد (٢٩،٣٦) ملي واط/سم ، وهذا يعود إلى تباين زاوية سقوط الإشعاع الشمسي ، إذ بلغت خلال هذا الشهر في محطة الموصل (٤١ ٥ ٥ ٥ ٥) ، وبغداد (٤٢ ٥ ٥ ٥ ٥) ، والبصرة (٢٩ ٥ ٥ ٥ ٥) ، الموصل بسبب موقع منطقة الدراسة إلى الشمال من مدار السرطان ، جعلها تتأثر بزاوية سقوط الإشعاع الشمسي المائلة بحسب حركة أشعة الشمس الظاهرية ، وبالتالي انعكس على تباينها في محطات منطقة الدراسة ، لاحظ الجدول (٦) ، وبحسب ذلك فإن زاوية سقوط الإشعاع الشمسي تحدد مقدار قيم الإشعاع الشمسي الذي يترك أثره في تحديد قيم الإشعاع الأرضي أيضاً ، (لاحظ جدول الذي يترك أثره في تحديد قيم الإشعاع الأرضي أيضاً ،

(٥) ، والشكل (٢)) .

تأخذ قيم الإشعاع الأرضي بالارتفاع من (نيسان) إلى (أيلول) ، لارتفاع قيم زوايا الإشعاع الشمسي حتى تصل إلى أقصى ارتفاع لها خلال هذه المدة ، فضلاً عن طول ساعات السطوع النظري والفعلي ، لاحظ الجدولين (٧ ، ٨) ، إذ تصل قيم الإشعاع الأرضي إلى أقصى حد لها في أشهر (حزيران ، وتموز ، وآب) ، إذ بلغت قيمه خلال هذه الأشهر في محطة الموصل على التوالي (٢٠٢٠، ١٧٧،١) وفي محطة بغداد (٢٠٢، ٢٠٤،٥٩١) ملي واط/سم ، وفي محطة بغداد (٢٠٢، ٢ ، ٢٥٤،٥٩١ ، ٢٧٩،٣١) ملي واط/سم ، في حين وصلت في محطة البصرة إلى (٢١٢،٧ ، ٢٧٩،٣١)

وتأخذ قيم الإشعاع الأرضي بعد ذلك بالانخفاض التدريجي خلال شهر (أيلول) ، إذ بلغت قيم الإشعاع الأرضي في محطات الموصل ، وبغداد ، والبصرة على التوالي (١٩٨٠٩، ٢٢٧،٧) ملي واط/سم .



جدول رقم (٢) المعدلات الشهرية لضغط البخار (ملم) في منطقة الدراسة للمدة (١٩٧٠-٢٠٠٧) م

المعدل	ك ١	ت٢	ت١	ايلول	اب	تموز	حزيرا	ماي	نيسا	اذا	شبا	ك ٢	اسم
							ن	w	ن	ر	ط		المحطة
٩,٣	٧,	۸,٠	٩,٨	١٠,	١١,	۱٠,	9,0	١٠,	١٠,	۸,	٧,١	٧,	الموصد
	٨			•	٧	٩		٤	٨	٦		٠	J
٩,٧	۸,	۹,٥	١٠,	١١,	۱۳,	١٠,	١٠,٢	٩,٧	١٠,	۸,	٧,١	٧,	كركوك
	٣		٧	٣	۲	٩			۲	٣		٠	
9,05	۸,	٩,٣	١٠,	١١,	١٢,	١٠,	١٠,٢	٩,٦	٩,٧	۸,	٧,٢	٧,	بغداد
	۲		٤	١	٢	٩				۲		١	
۸,٧١	٧,	٨, ٤	١٠,	١٠,	١١,	١١,	٩,٣	٨, ٤	٨, ٤	٧,	٦,٠	٦,	الرطبة
	•		٤	٣	٤	٣				۲		٥	
١٠,٧	۸,	١٠,	١١,	١٢,	۱۳,	۱۲,	۱۱,۷	١١,	١١,	٩,	۸,۱	۸,	الحي
٦	٨	١	0	١	۲	٥		٤	٨	٧		٣	
۱۱,۳	۸,	١٠,	١٢,	۱۳,	10,	۱۳,	17,1	١١,	١١,	٩,	۸, ٤	۸,	الديوانية
•	٩	٨	٧	٦	١	٤		٣	٥	٥		٤	
١٠,٣	٩,	١٠,	١١,	١١,	۱۲,	١١,	۱۰,٦	١١,	١١,	٩,	۸,٠	۸,	الناصر
۲	٠	٠	٧	٧	۲	١		١	٣	٠		۲	ية
۱٠,٤	٩,	١٠,	۱۲,	١١,	۱۲,	١١,	1.,0	١٠,	١٠,	٩,	٨, ٤	۸,	البصرة
٦	١	٧	۲	٦	٧	٨		٣	٣	٣		٧	

المصدر: جمهورية العراق، وزارة النقل والمواصدات، الهيئة العامة للأنواء الجوية والرصد الزلزالي، قسم المناخ، بيانات غير منشورة

جدول (٣)

قيم الإشعاع الشمسي الخارجي Ra (ميكا جول /م٢ . يوم) في منطقة الدراسة للمدة (١٩٧٠-٢٠٠٧) م



المعدل	ك ١	ت٢	٢	أيلول	آب	تموز	حزيرا	ماي	نيسا	آذار	شباط	ك ٢	اسم
							ن	س	ن				المحطة
, ٤٦	١٥,	۱۸,	۲٤,	٣١,	٣٧,	٤٠,	٤١,٨	٤٠,	٣٥,	۲۸,	۲۲,	۱٧,	الموصد
۲٩	٧	٤	٣	٣	٣	٨		٠	٤	٨	٤	٤	J
,٧٨	۱٦,	۱٩,	۲٤,	٣١,	٣٧,	٤٠,	٤١,٧	٤٠,	٣٥,	۲٩,	۲۲,	۱٧,	كركوك
۲٩	٤	•	٨	٦	٥	٨		•	٨	۲	٨	٨	
٣٠,٥	۱٧,	۲٠,	۲٥,	٣٢,	٣٧,	٤٠,	٤١,٧	٤٠,	٣٦,	٣٠,	۲٤,	۱٩,	بغداد
	٥	٤	٨	٤	٧	٨		•	۲	۲	١	۲	
,01	۱٧,	۲٠,	۲٦,	٣٢,	٣٧,	٤٠,	٤١,٧	٤٠,	٣٦,	٣٠,	۲٤,	۱٩,	الرطبة
٣.	٩	0	٠	٥	٧	٨		•	٣	٣	١	۲	
٣٠,٨	۱۸,	۲٠,	۲٦,	٣٢,	٣٧,	٤٠,	٤١,٦	٤٠,	٣٦,	٣٠,	۲٤,	۱٩,	الحي
	٤	٨	٥	٦	٨	٧		•	٤	٥	٦	٧	
,۹۰	۱۸,	۲١,	۲٦,	٣٢,	٣٧,	٤٠,	٤١,٤	٤٠,	٣٦,	٣٠,	۲٤,	۱٩,	الديوانية
٣.	٥	١	٦	٨	٩	٧		٠	٥	٧	٨	٩	
,10	۱٩,	۲١,	۲٧,	۳٣,	٣٧,	٤٠,	٤١,٣	٤٠,	٣٦,	٣٠,	۲٥,	۲٠,	الناصر
٣١	•	٦	•	•	٩	٧		•	٦	٩	٣	٥	ية
, ٤١	۱٩,	۲۲,	۲٧,	۳٣,	٣٨,	٤٠,	٤١,٢	٤٠,	٣٦,	٣١,	۲٥,	۲٠,	البصرة
٣١	٧	•	٥	٣	٠	٦		•	٧	٤	٧	٩	

المصدر: من عمل الباحثين بالاعتماد على:

Richard. G.A.llen, Lnis S. Pereira, Dirk Raes, Martin Smith, Grop evapotrans piration, F.A.O. Irrigation and Drainage paper, No. 56, Rome, 1998, P.46.

جدول(٤)





ترتيب اليوم من السنة

حزيران	مايس	نيسان	اذار	شباط	ك ٢	اليوم
107	171	91	٦.	٣٢	١	١
108	١٢٢	9.7	٦١	٣٣	۲	۲
108	١٢٣	٩٣	٦٢	٣٤	٣	٣
100	١٢٤	9 £	٦٣	٣٥	٤	٤
107	170	90	٦٤	٣٦	٥	٥
104	١٢٦	97	70	٣٧	٦	٦
101	١٢٧	97	٦٦	٣٨	٧	γ
109	١٢٨	٩٨	٦٧	٣٩	٨	٨
١٦.	179	99	٦٨	٤٠	٩	٩
١٦١	۱۳۰	1	79	٤١	١.	١.
١٦٢	١٣١	1.1	٧.	٤٢	11	11
١٦٣	١٣٢	1.7	٧١	٤٣	١٢	١٢
175	١٣٣	1.7	٧٢	٤٤	١٣	١٣
170	١٣٤	١٠٤	٧٣	٤٥	١٤	١٤
١٦٦	170	1.0	٧٤	٤٦	10	10
١٦٧	١٣٦	١٠٦	٧٥	٤٧	١٦	١٦
١٦٨	١٣٧	1.4	٧٦	٤٨	١٧	١٧
179	١٣٨	١٠٨	**	٤٩	١٨	١٨
١٧٠	189	1.9	٧٨	٥,	19	19
١٧١	1 : •	11.	٧٩	01	۲.	۲.
١٧٢	1 £ 1	111	٨٠	٥٢	71	71
۱۷۳	1 £ Y	١١٢	۸١	٥٣	77	77
١٧٤	١٤٣	۱۱۳	٨٢	0 £	77	77
140	1 £ £	١١٤	۸۳	00	7 £	7 £



		I	1	II	1	
١٧٦	1 80	110	٨٤	०७	70	70
١٧٧	1 £ 7	١١٦	٨٥	٥٧	۲٦	۲٦
١٧٨	1 2 7	117	٨٦	٥٨	**	77
1 7 9	١٤٨	114	۸٧	09	۲۸	۲۸
۱۸۰	1 £ 9	119	۸۸	٦٠	۲۹	۲٩
١٨١	10.	١٢.	٨٩	_	٣.	۳.
_	101	-	٩.	-	٣١	٣١
ك ١	۲ت	ت١	ايلول	اب	تموز	اليوم
770	۳.٥	Y V £	7 £ £	717	١٨٢	١
٣٣٦	٣٠٦	770	7 20	715	١٨٣	۲
777	۳.٧	777	7 £ 7	710	١٨٤	٣
۳۳۸	۳۰۸	777	7 5 7	717	110	٤
779	٣٠٩	777	7 £ Å	717	١٨٦	0
٣٤.	۳۱.	449	7 £ 9	717	١٨٧	٦
781	۳۱۱	۲۸.	۲0.	719	١٨٨	٧
757	717	711	701	۲۲.	١٨٩	٨
٣٤٣	۳۱۳	7.7.7	707	771	19.	٩
٣٤٤	٣١٤	۲۸۳	707	777	191	١.
750	٣١٥	715	708	777	197	11
٣٤٦	٣١٦	710	700	775	198	١٢
757	۳۱۷	۲۸٦	707	770	198	١٣
٣٤٨	۳۱۸	7.47	707	777	190	١٤
W £ 9	٣١٩	۲۸۸	701	777	197	10
٣٥.	٣٢.	719	709	777	197	١٦
701	771	79.	۲٦.	779	191	١٧
707	777	791	771	۲۳.	199	١٨
404	777	797	777	771	۲.,	19



70 £	47 £	798	778	777	7.1	۲.
700	770	798	775	777	7.7	71
707	477	790	770	772	۲۰۳	77
70 Y	777	797	411	740	۲۰٤	77
70 A	771	۲9 ٧	777	777	۲.٥	۲ ٤
709	779	791	۲ ٦٨	777	۲٠٦	40
٣٦.	٣٣٠	799	419	777	۲.٧	41
٣٦١	۳۳۱	٣.,	۲٧.	739	۲٠۸	**
٣٦٢	٣٣٢	٣٠١	771	7 2 •	۲٠٩	4.4
777	٣٣٣	٣.٢	777	7 £ 1	۲۱.	44
٣٦٤	٣٣٤	۳۰۳	777	7 £ 7	711	٣.
770		٣٠٤	_	7 5 8	717	۳۱

- Richard. G.A.llen, Lnis S. Pereira, Dirk Raes, Martin Smith, Grop evapotrans piration, F.A.O. Irrigation and Drainage paper, No. *56*, Rome, 1998, P.217–218.



مجلة البحوث الجغرافية

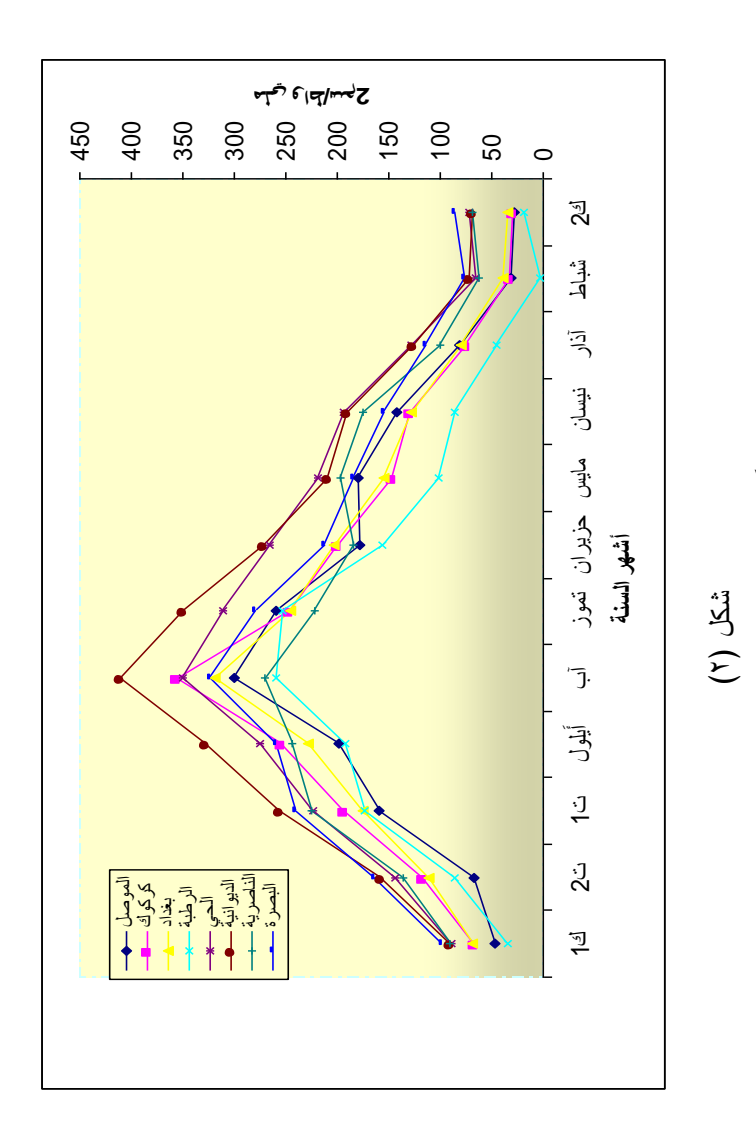
جدول (٥) *
المعدل الشهري والسنوي للإشعاع الأرضي (ملي واط/سم) في منطقة الدراسة للمعدل الشهري المدة (١٩٧٠ -٢٠٠٧) م

المعدل السنوي	1 હો	7ث	٢٠	أيلول	آب	تموز	حزيران	مايس	نوسان	آذار	شباط	74	اسم المحطة
189,5	٤٧,١٢	77,0	104,77	193,9	Y99,11	AV,P07	1,771	174,4	1 £ 1,7	۸۰,۹۱	۳۰,۸	47,9	الموصل
105,8	14,04	117,9	197,70	Y05,V	T00,0V	Y£1,Y1	۲٠٠,٤	157,07	179	Y£,Y1	TT, • £	۳۰,۰۷	كركوك
1 £ A, V	7.4,4.5	111	100,10	***,*	٣١٨,٩٩	711,09	۲۰۲,۸	105,8%	174,1	V9,F7	٣٨,٣٦	ro,.r	بغداد
117,0	TE,1	۸٥,٥	177,41	197,9	109,17	Y07,0A	1,501	1.1,87	A7,1	£0,0Y	۲,۸	14,09	الرطبة
190	A7,FA	188	YYF,AY	YV0,£	10.,71	T11,00	Y10,0	Y1A,00	198,8	177,£1	11,41	YY,0£	الحي
711,7	9.,07	107,0	707,507	TTV, 9	\$11,7A	40.11	444,5	۲۰۸,٦٣	19.,4	177,58	VY,Y £	19,18	الديوانية
175,4	9.,07	180,7	YY0,7X	757,7	۲۷۰,٦٣	YYY,0A	140,1	197,10	175,9	1,££	77,88	7.4,47	الناصرية
187,8	9.4,0.4	175,7	71.47	Y0A,9	FYF,.Y	17,877	*1*,*	145,50	108,4	115,+4	٧٧	A0,07	البصرة

 Richard. G. Allen, Luis S. Pereira, Dirk Roes, Martin Smith, Gropevpatrans Piration, F.A.O. Irrigation and Drainage paper, No. 56, Rome, 1998, P.52

قام الباحثين بتحويل نتائج المعادلة من نتائج مقاسه بوحدة (الميكاجول/م' . يوم) إلى نتائج مقاسه بوحدة (ملي واط/سم'. ثانية) ، إلا أن الزمن حذف أثناء التحويل ، فأصبحت النتائج مقاسه بوحدة (ملي واط/سم') ، لأن الهيأة العامة للأنواء الجوية العراقية تعتمد هذه الوحدة في القياس ، لذلك اعتمدتها الباحثين للمقارنة ، ينظر:

⁻ Richard G. Allen ,Luis S. Pereira , Dirk Roes , Martin Smith , Gropevapatrans piration , f.A.O. Irrigation and Drainage paper , No.56, Rome , 1998.p.45 .



تباين المعدلات الشهرية للإشعاع الأرضعي (ملي واط/سم) في منطقة الدراسة للمدة (١٩٧٠ – ٢٠٠٧) م المصدر: الشكل من عمل الباحثين بالاعتماد على الجدول (٥)



جدول (٦) المعدل الشهري لزوايا الإشعاع الشمسي (درجة) في منطقة الدراسة

												1	1	
اک	ت	ت	أيلو	Ĩ	تمو	حزيرا	ماي	نيسا	آذا	شبا	ك	الارت	دائرة	اسم
١	۲	١	ل	ب	ز	ن	w	ن	ر	ط	۲	فاع	العر	المحطة
												بالام	ض	
												تار		
٤	٤١	٤١	٤١	٤	٤١	٤١	٤١	٤١	٤١	٤١	٤	777	ó 19	الموصد
١	Ó	Ó	Ó	١	Ó	Ó	ó	ó	ó	ó	١		ీ ٣٦	J
Ó	٣٤	٤٥	٥٧	ó	٧٤	٧٦	٧٢	۲۲	٥١	٤.	ó			
۲	்	·	்	٦	ċ	்	°	ċ	·	ċ	٣			
٩				٧							١			
·				ំ							ំ			
٣	٣٢	٣٢	٣٢	٣	٣٢	٣٢	٣٢	٣٢	٣٢	٣٢	٣	771	هٔ ۲۸	كركوك
۲	Ó	Ó	ó	۲	Ó	ó	Ó	Ó	Ó	ó	۲		ీ ٣٥	
ó	40	٤٦	٥٨	ó	٧٥	٧٧	٧٣	٦٣	۲٥	٤١	ó			
٣	்	்	்	٦	·	்	ċ	ċ	·	ċ	٣			
•				٨							۲			
்				்							்			
٤	٤٢	٤٢	٤٢	٤	٤٢	٤٢	٤٢	٤٢	٤٢	٤٢	٤	٣٤	ó 1A	بغداد
۲	ó	ó	ó	۲	ó	ó	ó	ó	ó	ó	۲		ీ ٣٣	
Ó	٣٧	٤٨	٦.	Ó	٧٧	٧٩	٧٥	70	٥٤	٤٣	Ó			
٣	்	·	்	٧	°	்	°	ċ	°	ċ	٣			
۲				٠							٤			
ċ				்							்			
0	٥٨	٥٨	٥٨	0	٥٨	٥٨	٥٨	٥٨	٥٨	٥٨	٥	710	ó • ۲	الرطبة
٨	Ó	Ó	ó	٨	Õ	Ó	ó	ó	ó	ó	٨		ీ ٣٣	
Ó	٣٧	٤٨	٦.	Ó	YY	٧٩	٧٥	70	٥٤	٤٣	Ó			
٣	ċ	·	°	٧	•	ċ	°	ċ	•	•	٣			
۲				•							٤			

مجلة البحوث الجغرافية • • • ♦ المستنظر

்				•							்			
٥	٥٢	٥٢	۲٥	٥	٥٢	٥٢	٥٢	٥٢	٥٢	٥٢	٥	10	ó •Λ	الحي
۲	ó	ó	ó	۲	ó	Ó	ó	ó	ó	ó	۲		ీ ٣٢	
Ó	٣٨	٤٩	٦١	ó	٧٨	۸.	٧٦	٦٦	00	٤٤	Ó			
٣	்	்	்	٧	ំ	்	°	°	்	ô	٣			
٣				١							٥			
்				்							்			
•	٠٣	۰۳	٠٣		٠٣	٠٣	٠٣	٠٣	٠٣	٠٣	•	۲.	ó ov	الديواني
٣	ó	ó	ó	٣	ó	ó	ó	ó	Ó	ó	٣		ំ ۳۱	ä
Ó	٣9	٥,	٦٢	Ó	٧٩	۸١	YY	٦٧	٥٦	٤٥	Ó			
٣	்	ċ	·	٧	்	்	°	°	·	°	٣			
٤				۲							٦			
்				்							்			
٥	٥٩	٥٩	٥٩	0	٥٩	٥٩	٥٩	٥٩	٥٩	٥٩	0	٣	ó • ١	الناصر
٩	Ó	Ó	Ó	٩	ó	Ó	Ó	Ó	Ó	Ó	٩		ំ ٣١	ية
Ó	٣٩	٥,	77	Ó	٧٩	٨١	YY	٦٧	٥٦	٤٥	Ó			
٣	்	்	்	٧	்	்	்	·	்	்	٣			
٤				۲							٦			
ំ				ំ							ំ			
۲	۲٩	۲٩	79	۲	۲٩	۲۹	۲٩	۲٩	۲٩	49	۲	۲,٤٠	٠٣١	البصرة
٩	Ó	Ó	Ó	٩	Ó	ó	ó	ó	Ó	Ó	٩		۳۰ ه	
Ó	٤٠	٥١	٦٣	Ó	٨٠	٨٢	٧٨	٦٨	٥٧	٤٦	Ó		்	
٣	ំ	ំ	°	٧	்	்	ċ	ċ	°	°	٣			
٥				٣							٧			
				்							்			

المصدر: الجدول من عمل الباحثين بالاعتماد على:

علي حسين الشلش، الكرة الأَرضية من الوسائل المساعدة في تدريس الجغرافية، جامعة البصرة، ١٩٧٩، ص ٥٧ – ٧٣.

جدول (٧)



المعدل الشهري والسنوي لساعات السطوع النظري (ساعة/يوم) في منطقة الدراسة

المعدل	ك ١	ت٢	ت١	أيلول	آب	تموز	حزيران	مايس	نیسان	آذار	شباط	ك٢	اسم
السنوي													المحطة
17,57	9,58	1.,17	11,17	17,77	18,81	15,75	1 £, ٣٧	١٤,٠٧	۱۳,۰۷	11,07	1.,08	9,09	الموصل
١٢,٠	9,57	1.,19	11,17	17,77	18,89	1 £, 1 9	18,87	1 ٤, • ١	۱۳,۰٦	11,07	1.,08	١٠,٠٣	كركوك
١٢,٠	9,09	1.,77	11,77	۱۲,۲۳	۱۳,۲۳	١٤,٠٧	1 £, 7 .	18,08	18,	11,04	11,	1.,18	بغداد
17,87	9,09	1.,79	11,75	۱۲,۲۳	۱۳,۲۳	١٤,٠٧	1 £, ٢ •	14,07	17,09	11,04	11,.٣	١٠,١٤	الرطبة
١٢,٠	١٠,٠٤	1.,79	11,70	۱۲,۲۳	17,7.	15,00	15,15	۱۳,٤٨	17,07	11,07	11,.0	1.,19	الحي
۱۲,۳۸	1.,1.	1.,78	11,70	17,77	18,19	18,08	1 £ , 1 •	18,50	17,07	17,	11,.7	11,.٣	الديوانية
١٢,٠	1.,11	۱۰,۳٦	11,77	17,77	18,10	18,08	۱٤,٠٨	14,55	17,07	17,	11,.7	١٠,٢٣	الناصرية
١٢	1.,18	۱۰,۳۸	11,77	17,71	17,1 £	17,08	18,07	17,57	17,08	17,01	11,.7	1.,70	البصرة

المصدر: الجدول من عمل الباحثين بالاعتماد على:

Richard. G.A.llen, Lnis S. Pereira, Dirk Raes, Martin Smith, Grop evapotrans piration, F.A.O. Irrigation and Drainage paper, No. 56, Rome, 1998, P.220.

جدول (٨) الشهري والسنوي لساعات السطوع الفعلي (ساعة/يوم) في منطقة الدراسة للمعدل الشهري والسنوي لساعات السطوع الفعلي (١٩٧٠) م

المعدل	ك ١	ت۲	٦	أَيلول	آب	تموز	حزيران	مايس	نیسان	آذار	شباط	ك ٢	اسم المحطة
السنو <i>ي</i> ۸,٤١	٤,٦	٦,٤	۸,۳	1.,0	۱۱,٦	17,1	17,1	١٠,١	٧,٩	٦,٨	٥,٨	٤,٨	الموصل
۸٫۳۱	٥,٣	٦,٧	۸,۲	١٠,٣	11,1	11,7	۱۱,۳	٩,٣	٧,٨	٧,١	٦,٢	٥,٣	كركوك
٩,٠٣	٦,٠	٧,٢	۸,٥	١٠,٣	۱۱,۷	17,1	17,8	1.,7	۸,٧	۸,٠	٧,٣	٦,١	بغداد
9,17	٦,٢	٧,٦	٨,٨	1.,0	۱۱,۷	١٢,٣	17,8	١٠,٠	۸,٧	۸,۲	٧, ٤	٦,٤	الرطبة
9,•٣	٦,٥	٧,٥	۸,٧	١٠,٣	11,0	۱۱,۷	11,9	٩,٨	٨,٥	٧,٩	٧,٦	٦,٥	الحي

المصدر: جمهورية العراق، وزارة النقل والمواصلات، الهيأة العامة للأنواء الجوية والرصد الزلزالي، قسم المائية والزراعية ، بيانات غير منشورة.

11,1 11,0

٧,٦ ٩,٠ ١٠,٤ ١١,٠

ويلاحظ على قيم الإشعاع الأرضي لشهر (أيلول) أنها تزيد على القيم خلال شهر (آذار)، ويعود ذلك إلى أن المدة (١ – ٢٣/ أيلول) لا تزال فيها أشعة الشمس عمودية في نصف الكرة الشمالي ، لذلك ترتفع قيمة زاوية سقوط الإشعاع الشمسي في منطقة الدراسة خلال هذا الشهر مقارنة مع شهر آذار ، إما في شهر (آذار) فإن أشعة الشمس كانت لا تزال تسقط إلى الجنوب من دائرة خط الاستواء حتى يوم (٢١ آذار) ، ثم بعد ذلك تتقدم نحو مدار السرطان ، مما أثر في قيمة زاوية سقوط الإشعاع الشمسى ، وبالتالى في قيم الإشعاع الأرضى.

وتستمر قيم الإشعاع الأرضي بالانخفاض التدريجي خلال(تشرين الأول) إلى (آذار)، للانخفاض الملحوظ في قيمة زاوية سقوط الإشعاع الشمسي خلال هذه المدة في منطقة الدراسة ، فضلاً عن زيادة كمية الغيوم ، لاحظ الجدول (٩) ، وقلة ساعات السطوع النظري والفعلي خلال هذه المدة من السنة ، إذ تصل قيم الإشعاع الأرضي خلال أشهر (كانون الأول ، وكانون الثاني ، وشباط) إلى أدنى قيمها ، إذ تبلغ في محطة الموصل في الأشهر نفسها إلى (٢١،٧١ ، ٢٧،٩ ، ٢٧،٩) ملي واط/سم ، و محطة بغداد إلى (٣٨،٣٦ ، ٣٥،٠٣٠ ، ٣٥،٠٣) ملي واط/سم ، ومحطة البصرة إلى (٧٧ ، ٨٥،٥٦ ، ٢٥،٥٨ ، ٧٧) ملي واط/سم .



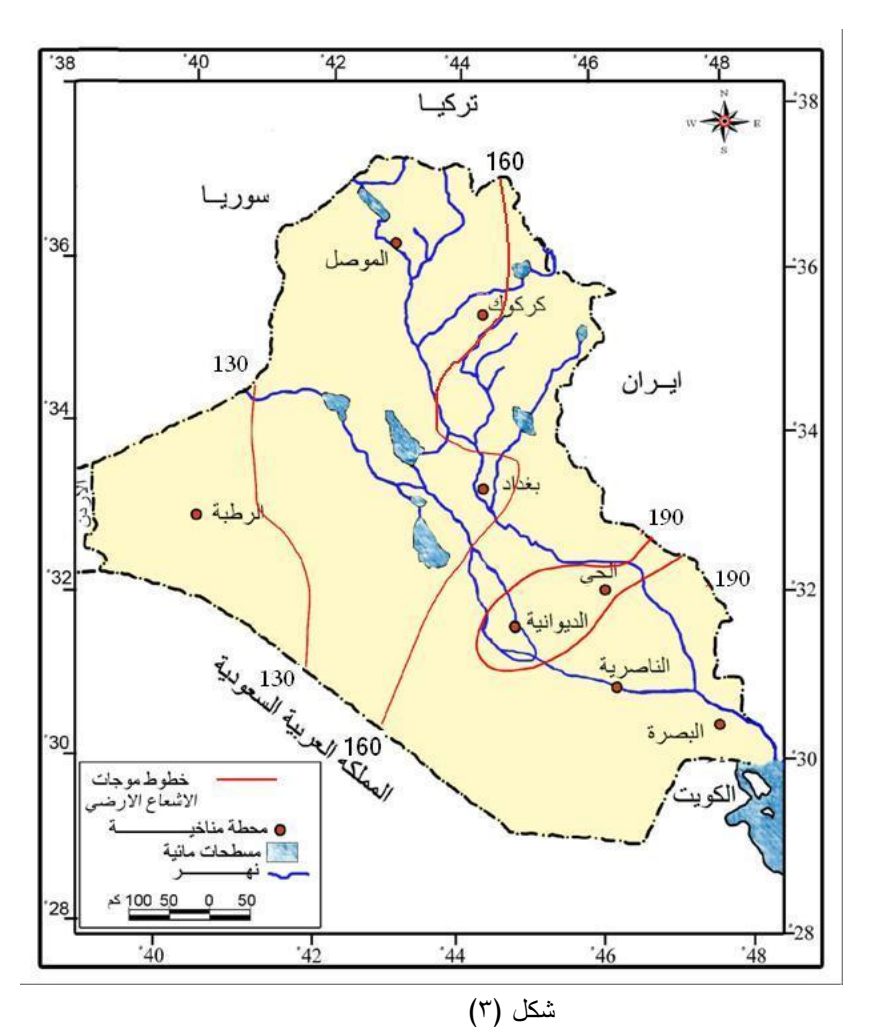
ويظهر الجدول (٥) أن المعدلات السنوية للإشعاع الأرضي في منطقة الدراسة تراوحت بين (١١٧٠٥- ٢١١،٢) ملي واط/سم ، إذ سجلت محطة الرطبة أدنى معدل سنوي للإشعاع الأرضي في حين كانت محطة الديوانية قد سجلت أعلى معدل له ، وذلك واضح في الشكل (٣) ، وهذا الارتفاع أو الانخفاض في المعدلات الشهرية والسنوية للإشعاع الأرضي يعود إلى تأثير عوامل مناخية كثيرة .

جدول (٩) المعدل الشهري والسنوي لقيم التغييم (أوكتاس) في منطقة الدراسة للمدة (١٩٧٠ - ٢٠٠٧) م

المعدل	ك ١	ت٢	ت١	أيلول	آب	تموز	حزيران	مايس	نیسان	آذار	شباط	ك ٢	اسم
السنوي													المحطة
۲,٤٣	٤,٣	۲,۹	۲,۱	٠,٥	٠,٢	۰,۳	٠,٨	۲,٧	٣,٦	٣,٧	٤,٠	٤,١	الموصل
۲,۱۱	٣,٧	۲,٧	١,٩	٠,٣	٠,٢	٠,٣	٠,٥	۲,۲	٣,٣	٣,٢	٣,٥	٣,٦	كركوك
۲,٠٩	٣,٥	۲,۸	۲,٠	٠,٤	٠,٢	٠,٣	٠,٤	۲,٥	٣, ٤	٣,٣	٣,١	٣,٢	بغداد
1,97	٣,٥	۲,٦	۲,۱	٠,٤	٠,٢	٠,٣	٠,٤	۲,۳	٣,٠	۲,۹	۲,۸	٣,٢	الرطبة
١,٣٧	۲,٤	۲,٠	١,٢	٠,٢	٠,٢	٠,١	٠,١	1,0	۲,۲	۲,۱	۲,٠	۲,٥	الحي
١,٨١	۲,۸	۲,٦	١,٩	٠,٤	٠,٢	٠,٢	۰,۳	۲,۳	٣,٠	۲,٧	۲,٥	۲,۹	الديوانية
1,00	۲,٧	۲,۲	١,٤	۰,۳	٠,٢	٠,٣	٠,٤	1,9	۲,٥	۲,۱	۲,۱	۲,٥	الناصرية
1,79	٣,٢	۲,٤	١,٥	۰,۳	٠,٢	٠,٤	٠,٣	۲,٠	۲,۹	۲,۸	۲,٤	٣,١	البصرة



المصدر: جمهورية العراق، وزارة النقل والمواصلات، الهيأة العامة للأَنواء الجوية والرصد الزلزالي، قسم المناخ، بيانات غير منشورة



خطوط الإشعاع الأَرضي المتساوية (ملي واط/سم) في منطقة الدراسة للمدة (١٩٧٠ - ٢٠٠٧)

المصدر: الشكل من عمل الباحثين بالاعتماد على الجدول (٥)



ب- خصائص درجات الحرارة في منطقة الدراسة:

تعد درجة الحرارة من أهم العناصر المناخية لارتباط بقية العناصر المناخية بها ارتباطاً وثيقاً بصورة مباشرة أو غير مباشرة، كما أن هناك عوامل أو خصائص متعددة لها تأثير في درجة الحرارة ، مما تؤدي إلى تباينها رمانيا ومكانياً في منطقة الدراسة.

يرتبط المسار اليومي لدرجة الحرارة بزاوية سقوط الإشعاع الشمسي خلال اليوم، إذ تزداد درجة الحرارة بزيادة ارتفاع زاوية السقوط، وتنخفض عند ميلانها، وكذلك تختلف من فصل لآخر بحسب زاوية سقوط الإشعاع الشمسي، ومقدار ساعات السطوع الفعلي، حيث تكون في (كانون الأول، وكانون الثاني، وشباط) مختلفة عن (حزيران، وتموز، وآب) و (آذار، وأيلول)، ففي (كانون الأول، وكانون الأاني، وشباط) تكون درجة الحرارة منخفضة لانخفاض زاوية سقوط الإشعاع الشمسي، وقلة ساعات السطوع الفعلي، لتأثير عامل التغييم، وارتفاع مقادير الرطوية في الجو، بعكس (حزيران، وتموز، وآب) التي تزداد فيها زاوية سقوط الإشعاع الشمسي، و ساعات السطوع الفعلي، لانخفاض قيمة التغييم، و مقدار الرطوية في الجو، ما عدا تأثير العواصف الغبارية التي تهب على منطقة الدراسة في الرطوية في الجو، ما عدا تأثير العواصف الغبارية التي تهب على منطقة الدراسة في المدة، حيث يتبع المسار السنوي لدرجة الحرارة المسار السنوي للإشعاع الشمسي، ولكنه يتأخر عنه قليلاً، إذ يكون لثلاثة أسابيع في المناطق القارية وستة أسابيع في المناطق البحرية (۱).

وترتفع درجات الحرارة في العراق في شهر (آذار) ، حيث تبدأ زاوية سقوط الإشعاع الشمسي بالزيادة مع تعامد أشعة الشمس على دائرة خط الاستواء ، حيث

ا نعمان شحادة، مصدر سابق، ص٥١١.

مجلة البحوث الجغرافية • • • • المنتسنين

تتباين درجات الحرارة بين محطات منطقة الدراسة ، ويظهر من الجدول (١٠) أن درجة الحرارة في محطة الموصل خلال هذا الشهر بلغت (١٢،٧) م ، وفي محطة بغداد (١٥،٨) م ،

وفي محطة البصرة (١٩،٥) م ، ثم تستمر بالارتفاع مع اقتراب أشعة الشمس من مدار السرطان وتعامدها عليه في شهر (حزيران) ، ثم تزداد زاوية سقوط الإشعاع الشمسي ، وساعات السطوع الفعلي والنظري ، فيؤدي ذلك إلى زيادة قيم الإشعاع الشمسي المتسلّم، حيث تصل درجة الحرارة في شهري (تموز ، وآب) أعلى معدلاتها في محطات منطقة الدراسة جميعها ، لتصل في محطة الموصل على التوالي إلى في محطة الموصل على التوالي إلى (٣٢،٥ ، ٣٤،٥) م ، ومحطة البصرة إلى

جدول (۱۰) المعدل الشهري و السنوي لدرجة الحرارة (مْ) في منطقة الدراسة للمدة (۱۹۷۰ - ۲۰۰۷) م

المعدل	ك ١	ت٢	ت١	أيلول	آب	تموز	حزيران	مايس	نیسان	آذار	شباط	ك ٢	اسم
السنوي													المحطة
۲٠,۱	۸,۲	۱۳,۳	۲۱,٤	۲۸,٦	۳۳,٥	٣٤,٥	۳١,٠	۲٤,٧	۱۸,۰	17,7	۸,٧	٦,٨	الموصل
77,0	١٠,٧	۱٦,٣	۲٤,٨	٣١,٣	٣٥,٤	٣٥,٠	٣٣,٠	۲۹,۳	۲٠,٤	۱٤,٧	١٠,٧	٩,١	كركوك
۲۲,٤	١٠,٦	۱٦,٠	۲٤,٠	٣٠,٢	۳۳,۸	٣٤,٧	٣٢,٤	۲۸,٥	۲۲,٥	10,1	۱۱,۸	٩,٢	بغداد
19,7	۸,۸	17,7	۲۱,٥	۲٧,٧	٣٠,٨	٣١,٢	۲۸,۷	۲٤,٤	19,1	14,1	٩,٢	٧,١	الرطبة
۲٤,٨	۱۲,۸	۱۸,۷	۲٧,٠	٣٢,٩	٣٦,٤	٣٧,٠	٣٥,٠	٣٠,٨	75,0	۱۸,۰	14,7	11,7	الحي
7 £ , 1	۲,۲۱	17,9	۲٦,١	٣٢,٠	٣٥,٠	٣٥,٦	٣٣,٩	٣٠,٢	75,0	١٨	۱۳,۳	١٠,٧	الديوانية
70,7	14,1	19,•	٢٦,٩	۳۳,۱	٣٦,٣	٣٦,٩	٣٥,٢	۳۱,٥	10,0	19,1	1 £, £	۱۱,۸	الناصرية
۲٥,٤	17,9	19,7	۲٦,٧	٣٢,٨	٣٦,٠	٣٦,٨	٣٥,٣	۳۱,۸	۲٦,٠	19,0	۱٤,٨	17,7	البصرة

المصدر: جمهورية العراق، وزارة النقل والمواصلات، الهيأة العامة للأنواء الجوية والرصد الزلزالي، قسم المناخ، بيانات غير منشورة.

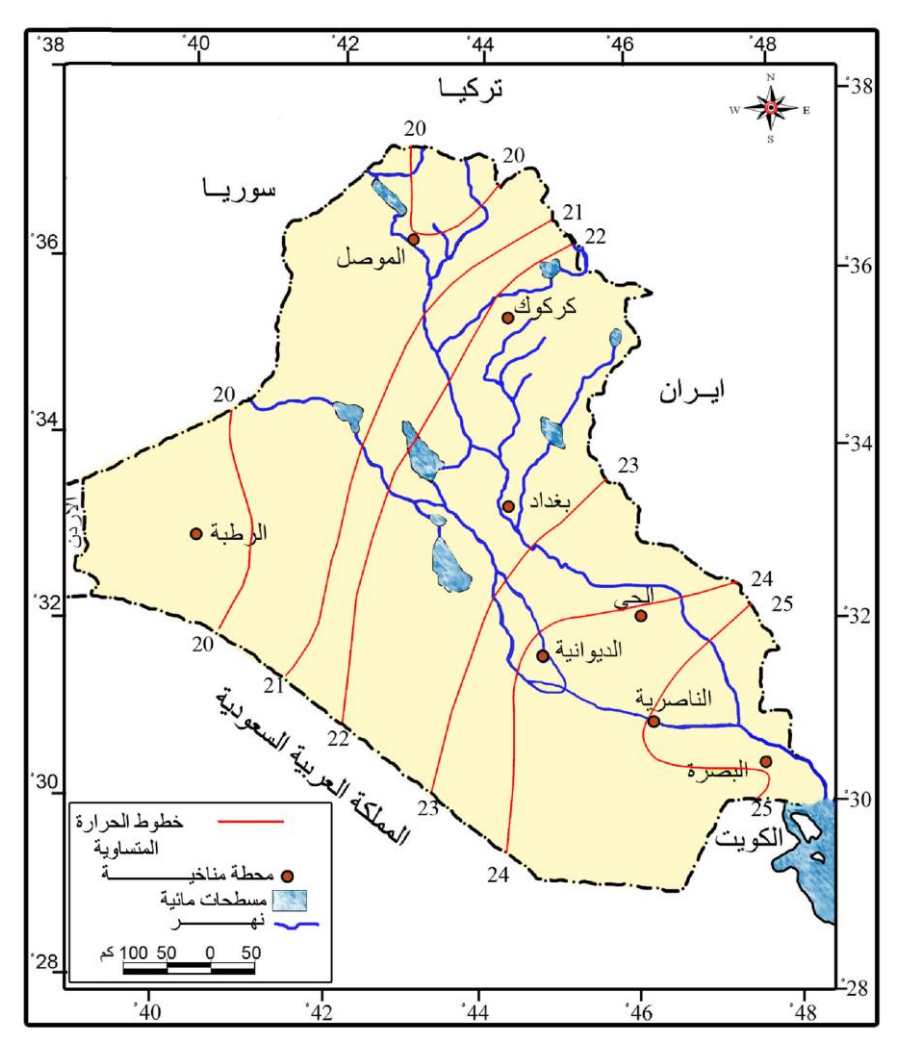
مجلة البحوث الجغرافية • • • • المناسبة

وتأخذ درجات الحرارة في منطقة الدراسة بعد ذلك بالانخفاض التدريجي مع ابتعاد أشعة الشمس عن مدار السرطان ، حتى تصل في شهر (أيلول) مع تعامد أشعة الشمس على دائرة خط الاستواء إلى (٢٨،٦) مْ في محطة الموصل ، وفي محطة بغداد إلى (٢٠٠٣) مْ ، ومن الملاحظ أن معدل بغداد إلى (٣٢،٢) مْ ، ومن الملاحظ أن معدل درجة الحرارة في شهر (أيلول) أعلى من شهر (آذار) ، لان أشعة الشمس في شهر (آذار) تتعامد إلى الجنوب من خط الاستواء حتى يوم (٢١) آذار ، في حين تأخذ بالتقدم نحو مدار السرطان بعد تعامدها على خط الاستواء ولمدة (١١) يوم ، في حين تكون في شهر (أيلول) ممتدة بين(١ – ٣٢/ أيلول) وتكون أشعة الشمس عمودية في النصف الشمالي ، أي لمدة (٣٢) يوم، وأسهم ذلك في الفرق في درجات الحرارة بين الشهرين .

ثم تستمر درجات الحرارة بالتناقص مع استمرار حركة أشعة الشمس الظاهرية نحو مدار الجدي، وزيادة ميلانها ، وانخفاض زاوية سقوط الإشعاع الشمسي ، وبذلك يقل المتسلّم منه ، فيؤدي إلى انخفاض درجة الحرارة ، لتصل إلى أقل معدلاتها في شهري (كانون الأول ، وكانون الثاني) ، حيث تصل في محطة الموصل – على التوالي – إلى (٢٠،٢ ، ٨،٢) مْ ، ومحطة بغداد إلى (٢٠،١ ، ٩،٢) مْ ، ومحطة البصرة إلى

ويظهر الجدول (١٠) أن المعدلات السنوية لدرجات الحرارة في منطقة الدراسة تراوحت بين (١٩٠٦ – ٢٥٠٤) م ، حيث سجلت محطة البصرة أعلى معدل سنوي لدرجات الحرارة في حين سجلت محطة الرطبة أدنى معدل لها ، وهذا واضح في الشكل (٤) ، إذ تزداد درجات الحرارة كلما اتجهنا جنوب منطقة الدراسة ، وهذا يعود إلى اقترابها من دائرة خط الاستواء وتأثير عوامل مناخية كثيرة .





شکل (٤)

خطوط الحرارة المتساوية (مُ) في منطقة الدراسة للمدة (١٩٧٠ – ٢٠٠٧) م المصدر : الشكل من عمل الباحثين بالاعتماد على الجدول (١٠)

ثالثاً / تحليل العلاقة بين الإشعاع الأرضي ودرجة الحرارة في منطقة الدراسة:

مجلة البحوث الجغرافية • • • ♦ المنتفيز

يظهر من الجدولين (٥) ، و (١٠) ، أن هناك زيادة في درجات الحرارة في العراق ترافق زيادة قيم الإشعاع الأرضي ، حيث ترتفع قيم الإشعاع الأرضي فتبلغ ذروتها في أشهر (حزيران ، وتموز ، وآب) في منطقة الدراسة ، لتعامد أشعة الشمس على مدار السرطان ، ثم ارتفاع قيمة زاوية سقوط الإشعاع الشمسي ، ثم زيادة عدد ساعات السطوع النظري والفعلي ، لاحظ الشكل (٥).

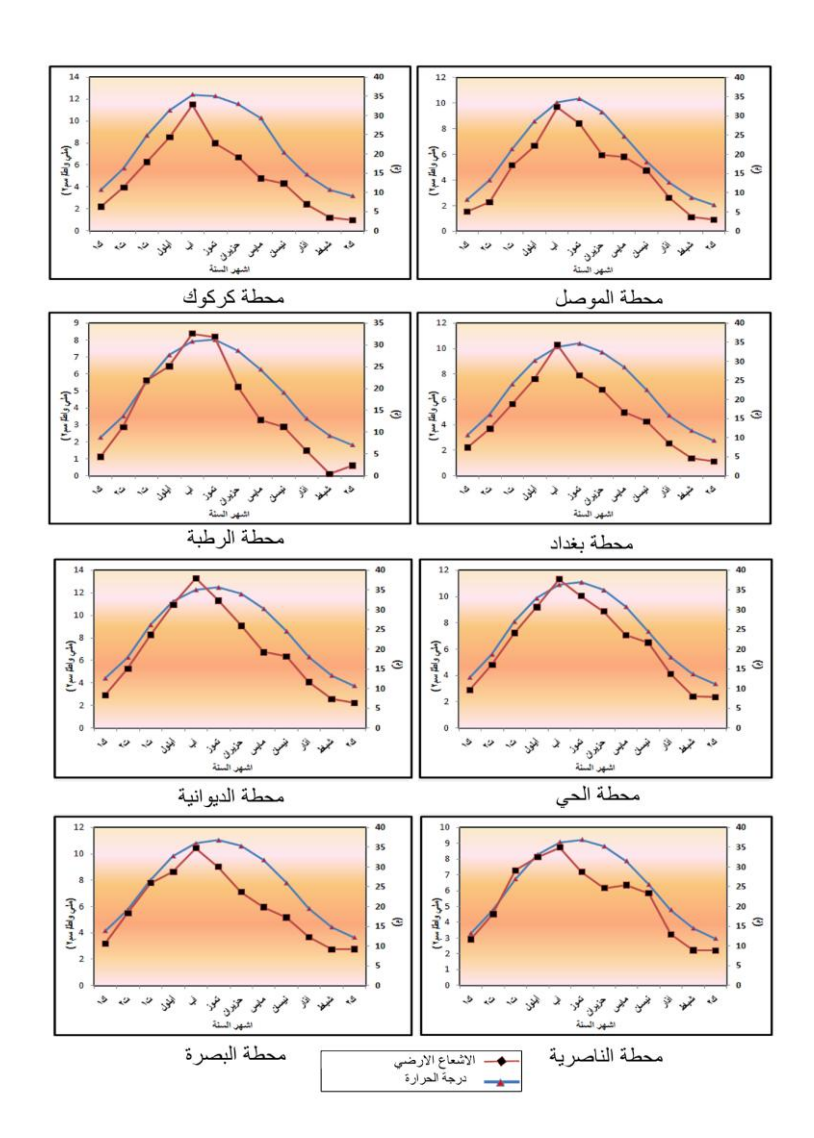
في حين تنخفض قيم الإشعاع الأرضي في أشهر (كانون الأول ، وكانون الثاني ، وشباط) في منطقة الدراسة ، لتعامد أشعة الشمس على مدار الجدي ، ثم ارتفاع قيمة زاوية سقوط الإشعاع الشمسي ، ثم انخفاض عدد ساعات السطوع النظري والفعلي ، وهي المدة نفسها التي تصل فيها درجات الحرارة إلى أدنى مستوى لها.

ولتحليل علاقة الإشعاع الأرضي بدرجة الحرارة في منطقة الدراسة ، يمكن لنا من خلال ملاحظة الجدول (١١) ، والشكل (٦) أن نجد ارتباطاً طردياً وقوياً ذا دلالة إحصائية تحت مستوى معنوية (٥%) بينهما في محطات منطقة الدراسة جميعها .

وبلغت قيمة (r) في محطة الموصل ، وبغداد ، والبصرة - على التوالي - (البعد قيمة (r) في محطة الموصل ، وبغداد ، والبعدرة - على التوالي - (٦،٧٩٠ ، ،٩٦٨ ، ،٩٦٩) ، وقيمة (t) الجد ولية) نلاحظ وجود دلالة معنوية عالية جداً .

وهذا يؤكد وجود ارتباط طردي وقوي جداً في محطات منطقة الدراسة جميعها بين قيم الإشعاع الأرضي ودرجات الحرارة ، حيث يُؤثر ارتفاع قيم الإشعاع الأرضي في ارتفاع درجات الحرارة ، و يترك انخفاضها أثره في منطقة الدراسة التي تنخفض فيها درجات الحرارة.





شكل (٥)
العلاقة بين المعدلات الشهرية للإشعاع الأرضي (ملي واط/سم)
ودرجة الحرارة (م) في منطقة الدراسة للمدة (١٩٧٠ - ٢٠٠٧) م.
المصدر: الشكل من عمل الباحثين بالاعتماد على الجدولين (٥) ، (١٠)
جدول (١١)



علاقة الإشعاع الأرضي (ملي واط/سم) بدرجة الحرارة (م) في منطقة الدراسة للمدة (١٩٧٠ -٢٠٠٧) م

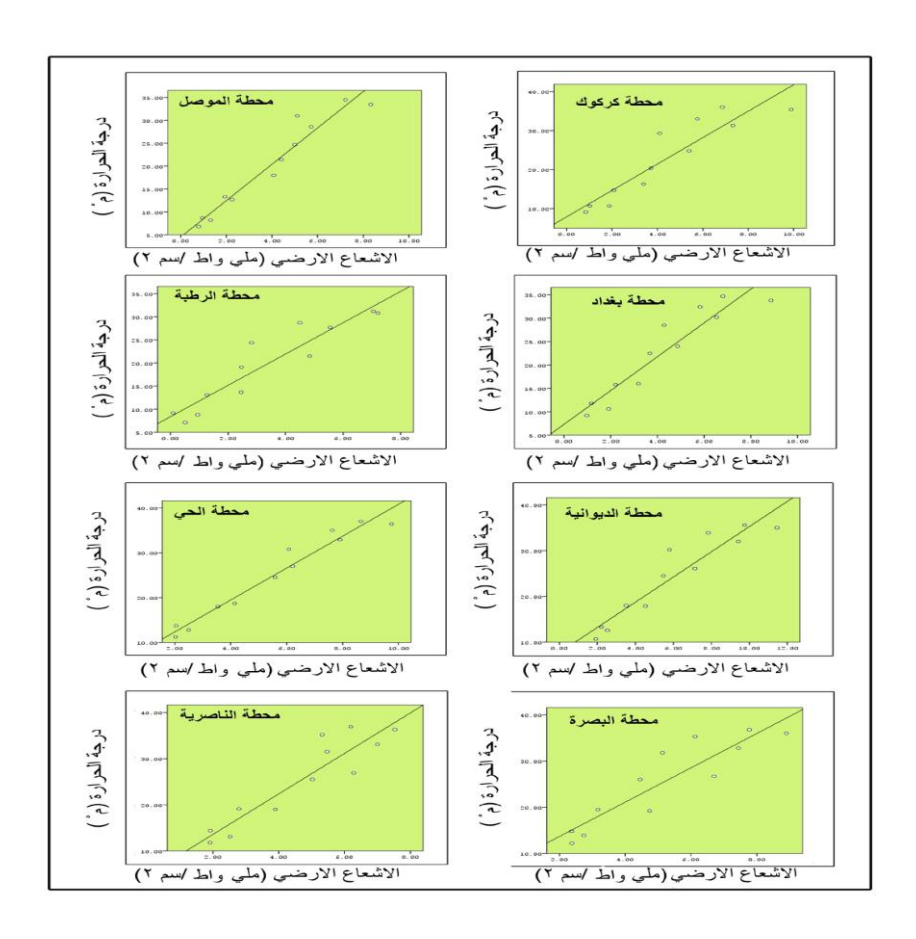
قیمة p	قيمة t	قيمة r	اسم المحطة
(المعنوية) *			
*,***	17,887	•,979	الموصل
•,••	۸,٤٦٣	٠,٩٣٧	كركوك
*,***	ለ, ٦ λ ٤	٠,٩٤٠	بغداد
*,***	۸,۲۰۰	٠,٩٣٣	الرطبة
*,***	10,711	•,9٧9	الحي
*,***	۸,۹۷٥	•,95٣	الديوانية
*,***	۸,۸۰۱	٠,٩٤١	الناصرية
*,***	٦,٧٩٠	٠,٩٠٧	البصرة

^{*} ذات دلالة إحصائية تحت مستوى (٥%)

قيمة (t الجد ولية) عند مستوى دلالة (٥%) ودرجة حرية (١٢)= ١,٧٨٢.



المصدر: الجدول من عمل الباحثين بالاعتماد على الجدولين (٥) ، (١٠)



شكل (٦) خط الانحدار بين المعدلات الشهرية للإشعاع الأرضي (ملي واط/سم) ودرجة الحرارة (م) في منطقة الدراسة للمدة (١٩٧٠ - ٢٠٠٧) م المصدر: الشكل من عمل الباحثين بالاعتماد على الجدولين (٥) ، (١٠)

مجلة البحوث الجغرافية • • • ♦ المنافية

ولتحديد مدى تأثير الإشعاع الأرضي في درجات الحرارة ، ومدى مساهمته في تحديد الأنموذج الرياضي الذي يمثل العلاقة بينه من جهة، وبين درجة الحرارة من جهة أخرى ، تم تحليل الانحدار المتعدد و التدريجي وهو واضح في الجدول (١٢).

ففي محطة الموصل أظهر تحليل الانحدار المتعدد التدريجي أن الإشعاع الأرضي فسر (٩٦,٩%) من صورة التباين في درجة الحرارة ، وتدل قيمة (f المحسوبة) على وجود دلالة إحصائية له عند مستوى (٥%) ، وهو يؤكد معنوية الانحدار ، ووجود علاقة بينه وبين درجة الحرارة ، وهذه الدلالة الإحصائية تشير إلى ملائمة الأنموذج للانحدار ، لذلك يكون الأنموذج الرياضي المقترح لتحديد درجة الحرارة في محطة الموصل هو:

درجة الحرارة =٣٠٧،٠ + ٢,٦٣٨ الإشعاع الأَرضي + ٢,٠٩٦

وفي محطة كركوك أظهر تحليل الانحدار المتعدد التدريجي أن الإشعاع الأرضي فسر (٩٣,٧) من صورة التباين في درجة الحرارة ، وتدل قيمة (f المحسوبة) على وجود دلالة إحصائية له عند مستوى (٥%) ، وهو يؤكد معنوية الانحدار ، ووجود علاقة بينه وبين درجة الحرارة ، وهذه الدلالة الإحصائية تشير إلى ملائمة الأنموذج للانحدار ، لذلك يكون الأنموذج الرياضي المقترح لتحديد درجة الحرارة في محطة كركوك هو:

درجة الحرارة = - ٢,١٠٣ + ١,٧٦٧ الإشعاع الأَرضي + ٢,١٠٣

وفي محطة بغداد أظهر تحليل الانحدار المتعدد التدريجي أن الإشعاع الأرضي فسر (عدر التباين في درجة الحرارة ، وتدل قيمة (f المحسوبة) على وجود

مجلة البحوث الجغرافية • • • ♦ المنتفيز

دلالة إحصائية له عند مستوى (٥٠) ، وهو يؤكد معنوية الانحدار ، ووجود علاقة بينه وبين درجة الحرارة ، وهذه الدلالة الإحصائية تشير إلى ملائمة الأنموذج للانحدار ، لذلك يكون الأنموذج الرياضي المقترح لتحديد درجة الحرارة في محطة بغداد هو:

درجة الحرارة = ٠,٠٢٩ + ٢,٠١٠ الإشعاع الأَرضي +١,٦٣١

جدول (۱۲) تحليل الانحدار التدريجي لتحديد مستوى تأثير الإشعاع الأرضي



في درجة الحرارة في منطقة الدراسة للمدة (١٩٧٠ - ٢٠٠٧) م

قيمة P (المعنوية)*	Df (درجة الحرية)	قيمة (f المحسوبة)	معامل التحديد	مستوى تأثير الإشعاع الأرضىي	اسم المحطة
•,•••	11	107,•46	٠,٩٦٩	الإشعاع الأَرضي	الموصل
•,•••	1	٧١,٦٢٢	٠,٩٣٧	الإشعاع الأَرضي	كركوك
٠,٠٠٠	1	Y0,£.0	٠,٩٤٠	الإشعاع الأَرضي	بغداد
٠,٠٠٠	1	٦٧,٢٤٥	٠,٨٧١	الإشعاع الأَرضي	الرطبة
.,	1	471,772	٠,٩٥٩	الإشعاع الأَرضي	الحي
•,•••	,	٨٠,٥٥٦	٠,٨٩٠	الإشعاع الأَرضي	الديوانية
٠,٠٠٠	1	YY,70·	۶۸۸,۰	الإشعاع الأَرضي	الناصرية
٠,٠٠٠	1	٤٦,١٠٥	٠,٨٢٢	الإشعاع الأَرضي	البصرة

^{*} ذات دلالة احصائية تحت مستوى (٥%).

f الجدولية (١١ ، ١١) = ٩,٦٥

المصدر: الجدول من عمل الباحثين بالاعتماد على الجدولين (٥) ، (١٠).

وكان تحليل الاتحدار المتعدد التدريجي في محطة الرطبة قد أظهر ان الإشعاع الأرضي فسر (٨٧,٥) من صورة التباين في درجة الحرارة ، وتدل قيمة (f المحسوبة) على وجود دلالة إحصائية له عند مستوى (٥%) ، وهذا يدل على معنوية الانحدار ، ووجود علاقة بينه و بين درجة الحرارة ، وهذه الدلالة الإحصائية تشير إلى ملائمة الأنموذج للانحدار ، لذلك يكون الأنموذج الرياضي المقترح لتحديد درجة الحرارة في محطة الرطبة هو:

مجلة البحوث الجغرافية • • • ♦ المنافية

درجة الحرارة = -230, + 1,90 الإشعاع الأرضي + 1,700 وفي محطة الحي أظهر تحليل الانحدار المتعدد التدريجي أن الإشعاع الأرضي فسر (90,9%) من صورة التباين في درجة الحرارة ، وتدل قيمة (f المحسوبة) على وجود دلالة إحصائية له عند مستوى (0%) ، وهذا يدل على معنوية الانحدار ، ووجود علاقة بينه و بين درجة الحرارة ، وهذه الدلالة الإحصائية تشير إلى ملائمة الأنموذج للانحدار ، لذلك يكون الأنموذج الرياضي المقترح لتحديد درجة الحرارة في محطة الحي هو:

درجة الحرارة = ١,٣٢٤ + ١,٣٢٤ الإشعاع الأرضي + ١,٤١٦ وفي محطة الديوانية أظهر تحليل الانحدار المتعدد التدريجي أن الإشعاع الأرضي فسر (٨٩,٠%) من صورة التباين في درجة الحرارة ، وتدل قيمة (f المحسوبة) على وجود دلالة إحصائية له عند مستوى (٥%) ، وهذا يدل على معنوية الانحدار ، ووجود علاقة بينه و بين درجة الحرارة ، وهذه الدلالة الإحصائية تشير إلى ملائمة الأنموذج للانحدار ، لذلك يكون الأنموذج الرياضي المقترح لتحديد درجة الحرارة في محطة الديوانية هو:

درجة الحرارة = ١,٥٩٢ + ١,٥٦٤ الإشعاع الأرضي + ١,٧٢٨ وفي محطة الناصرية أظهر تحليل الانحدار المتعدد التدريجي أن الإشعاع الأرضي فسر (٨٨,٦%) من صورة التباين في درجة الحرارة ، وتدل قيمة (f المحسوبة) على وجود دلالة إحصائية له عند مستوى (٥%) ، وهذا يدل على معنوية الانحدار ، ووجود علاقة بينه وبين درجة الحرارة ، وهذه الدلالة الإحصائية تشير إلى ملائمة الأنموذج للانحدار ، لذلك يكون الأنموذج الرياضي المقترح لتحديد درجة الحرارة في محطة الناصرية هو:

درجة الحرارة = ٤,٣١٩ + ٢,٢٩٤ الإشعاع الأرضي + ١,٥٨٧

مجلة البحوث الجغرافية • • • • المناسبة

وفي محطة البصرة أظهر تحليل الانحدار المتعدد التدريجي أن الإشعاع الأرضي فسر (٨٢,٢%) من التباين في درجة الحرارة ، وتدل قيمة (f المحسوبة) على وجود دلالة إحصائية له عند مستوى (٥%) ، وهذا يدل على معنوية الانحدار ، ووجود علاقة بينه و بين درجة الحرارة ، وهذه الدلالة الإحصائية تشير إلى ملائمة الأنموذج للانحدار ، لذلك يكون الأنموذج الرياضي المقترح لتحديد درجة الحرارة في محطة البصرة هو:

درجة الحرارة = -١,٨٢٩ + ٢,٣٣٨ الإشعاع الأَرضي +١,٨٢٩

الاستنتاجات:

1- توصل البحث إلى حساب قيم الإشعاع الأرضي في منطقة الدراسة، وسُجِّلت أعلى القيم في أشهر (حزيران، وتموز، وآب، وأيلول) وسُجِّلت أدناها في أشهر (كانون الأول، وكانون الثاني، وشباط) في محطات منطقة الدراسة كلها، وتراوحت المعدلات السنوية للقيم بين (١١٧,٥- ٢١١,٢) ملي واط/ سم ، حيث سجلت محطة الرطبة أدنى معدل سنوي للإشعاع الأرضي في حين سجلت محطة الديوانية أعلى معدل له، وأن هذه القيم تزداد كلما اتجهنا جنوب منطقة الدراسة.

٢- أوضحت الدراسة أن معدلات درجات الحرارة تتباين في منطقة الدراسة بحسب تباين زوايا الإشعاع الشمسي ، حيث يزداد معدل درجة الحرارة في العراق بحسب زيادة زاوية سقوط الإشعاع الشمسي ويقل بانخفاضها ، وأن معدلات درجات الحرارة هذه تزداد كلما اتجهنا جنوب منطقة الدراسة.

مجلة البحوث الجغرافية • • • ♦ المنتفعر

٣- أن هناك علاقة طردية قوية بين الإشعاع الأرضي و درجة الحرارة في جميع محطات منطقة الدراسة ، حيث سجلت محطة الحي أعلى ارتباط ، في حين سجلت محطة البصرة أقل ارتباط ، وتراوحت قيمة الارتباط بين (٠,٩٧٩) و (٠,٩٧٩) .

أثبت تحليل الانحدار المتعدد التدريجي أن الإشعاع الأرضي كان تأثيره كبيراً في درجة الحرارة في العراق ، حيث أسهم في تفسيرها بنسبة (٩٦,٩ ، ٨٢,٢)
 في محطات منطقة الدراسة كلها .

لمصادر:

مجلة البحوث الجغرافية • • • ♦ المنتفر

- البو راضي ، فتحي عبد العزيز ، الأساليب الكمية في الجغرافيا ، دار المعرفة الجامعية، الإسكندرية ،١٩٨٣ .
 - ۲- جمهوریة العراق ، وزارة الري ، الهیأة العامة للمساحة ، بغداد ، ۱۹۹۲.
- ٣- جمهورية العراق ، وزارة النقل والمواصلات ، الهيأة العامة للأنواء الجوية العراقية ، اطلس مناخ العراق (١٩٦١-١٩٩٠) م ، بغداد ، ١٩٧٩.
- 3- جمهورية العراق ، وزارة النقل والمواصلات ، الهيأة العامة للأَنواء الجوية والرصد الزلزالي ، قسم المناخ ، بيانات لسنوات الدراسة (١٩٧٠ ٢٠٠٧) م .
- ٥- جمهورية العراق ، وزارة النقل والمواصلات ، الهيأة العامة للأنواء الجوية والرصد الزلزالي ، قسم المائية والزراعية ، بيانات لسنوات الدراسة (١٩٧٠ ٢٠٠٧) م .
- آلساعر ، هديل عبد المجيد عباس ، علاقة الإشعاع الشمسي والإشعاع الأرضي بدرجة الحرارة في العراق للمدة (١٩٧٠ ٢٠٠٧) م ، رسالة ماجستير ،
 قسم الجغرافية ، جامعة الكوفة ، ٢٠٠٩ .
- ٧- شحادة ، نعمان ، علم المناخ ، الطبعة الثانية ، مطبعة النور النموذجية
 ، عمان ، ١٩٨٣.
- ۸- الشلش ، علي حسين ، الكرة الأرضية من الوسائل المساعدة في تدريس
 الجغرافية، جامعة البصرة ، ۱۹۷۹.
- 9- غانم ، علي أحمد ، الجغرافيا المناخية ، دار المسيرة للنشر والتوزيع والطباعة ، عمان ، الطبعة الأولى ، ٢٠٠٣ .
- 10- Allen Richard G., Lins S. Pereira, Dirk Rees, Martin Smith, Gropevapatrans piration, f.A.O. Irrigation and Drainage paper, No.56, Rome, 1998.



11- W, LLOYD. SWIGFT SR., Algorithm for solar Radiation on Mountain Slopes, Water Resources Research, Vol (12), No (1), 1976.